

# Центробежные обгонные муфты с подъемом кулачков под действием центробежных сил

## RIZ..G1G2, RIZ..G2G7 RINZ..G5G5



Задняя часть  
RIZ..G1G2

### МОДЕЛЬ



RIZ..G1G2

RINZ.. G5G5

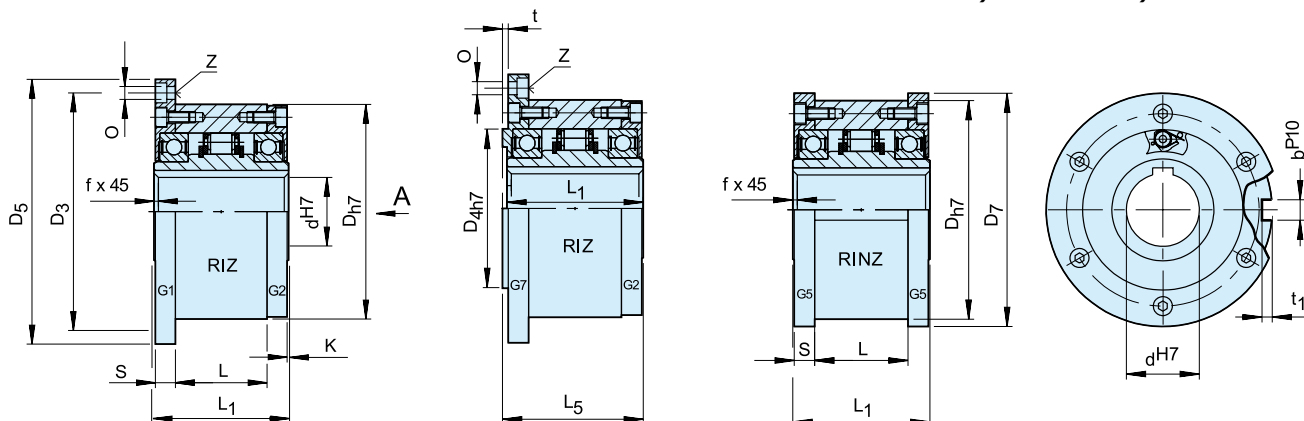
Модели RIZ..G1G2/G7G2, RINZ..G5G5 представляют собой обгонные муфты с подъемом кулачков под действием центробежной силы, с вращением внутреннего кольца. Для обгонного вращения предназначено только внутреннее кольцо.

Это автономные устройства, разработанные для применения в качестве обгонных муфт. Обычно используются в блоках шкивов, у которых обгонная скорость высокая,

а скорость привода низкая и не превышает максимальную скорость привода, указанную в таблице. Эти модели RIZ и RINZ (более подробные сведения см. на с. 82) оснащены крышками типа G со смазочной полостью и бесконтактным уплотнением. При заказе устройств в сборе они поступают смазанными консистентной смазкой, готовыми для установки в вертикальном и горизонтальном положении.

# Центробежные обгонные муфты с подъемом кулачков под действием центробежных сил

RIZ..G1G2, RIZ..G2G7, RINZ..G5G5



RIZ..G1G2

RIZ..G2G7

RINZ..G5G5

| Тип         | Размер | Скорости              |                       |                            |                             |                             |                  |               |                   |               |               | Номер |      |           |               |           |               |           |               |                   |           | Масса |
|-------------|--------|-----------------------|-----------------------|----------------------------|-----------------------------|-----------------------------|------------------|---------------|-------------------|---------------|---------------|-------|------|-----------|---------------|-----------|---------------|-----------|---------------|-------------------|-----------|-------|
|             |        | $d_{H7}^{1)}$<br>[мм] | $T_{KN}^{1)}$<br>[Нм] | $n_{max}^{2)}$<br>[об/мин] | $n_{imin}^{3)}$<br>[об/мин] | $n_{imax}^{4)}$<br>[об/мин] | $D_{H7}$<br>[мм] | $D_3$<br>[мм] | $D_{4h7}$<br>[мм] | $D_5$<br>[мм] | $D_7$<br>[мм] | O     | z    | S<br>[мм] | $L_1$<br>[мм] | L<br>[мм] | $L_5$<br>[мм] | t<br>[мм] | $t_1$<br>[мм] | $b^{P10}$<br>[мм] | f<br>[мм] |       |
| RIZ<br>RINZ | 30     | 375                   | 290                   | 700                        | 9000                        | 100                         | 114              | 75            | 128               | 109           | 6,6           | 6     | 11,5 | 68        | 43            | 70        | 3             | 4         | 8             | 1,0               | 3,9       |       |
|             | 35     | 550                   | 280                   | 670                        | 8500                        | 110                         | 124              | 80            | 140               | 119           | 6,6           | 6     | 13,5 | 74        | 45            | 76        | 3,5           | 5         | 10            | 1,0               | 4,9       |       |
|             | 40     | 800                   | 260                   | 630                        | 7500                        | 125                         | 142              | 90            | 160               | 135           | 9             | 6     | 15,5 | 86        | 53            | 88        | 3,5           | 5         | 12            | 1,5               | 7,5       |       |
|             | 45     | 912                   | 255                   | 610                        | 6700                        | 130                         | 146              | 95            | 165               | 140           | 9             | 8     | 15,5 | 86        | 53            | 88        | 3,5           | 5,5       | 14            | 1,5               | 7,8       |       |
|             | 50     | 1400                  | 235                   | 560                        | 6000                        | 150                         | 166              | 110           | 185               | 160           | 9             | 8     | 14   | 94        | 64            | 96        | 4             | 5,5       | 14            | 1,5               | 10,8      |       |
|             | 60     | 2350                  | 210                   | 510                        | 5300                        | 170                         | 192              | 125           | 214               | 182           | 11            | 10    | 17   | 114       | 78            | 116       | 4             | 7         | 18            | 2,0               | 16,8      |       |
|             | 70     | 3050                  | 195                   | 470                        | 4000                        | 190                         | 212              | 140           | 234               | 202           | 11            | 10    | 18,5 | 134       | 95            | 136       | 4             | 7,5       | 20            | 2,5               | 20,8      |       |
|             | 80     | 5800                  | 155                   | 375                        | 4000                        | 210                         | 232              | 160           | 254               | 222           | 11            | 10    | 21   | 144       | 100           | 146       | 4             | 9         | 22            | 2,5               | 27        |       |
|             | 90     | 8700                  | 145                   | 350                        | 3000                        | 230                         | 254              | 180           | 278               | 242           | 14            | 10    | 20,5 | 158       | 115           | 160       | 4,5           | 9         | 25            | 3,0               | 40        |       |
|             | 100    | 16000                 | 140                   | 340                        | 2400                        | 270                         | 305              | 210           | 335               | 282           | 18            | 10    | 30   | 182       | 120           | 184       | 5             | 10        | 28            | 3,0               | 67        |       |
| 130         | 23000  | 130                   | 320                   | 2400                       | 310                         | 345                         | 240              | 380           | 322               | 18            | 12            | 29    | 212  | 152       | 214           | 5         | 11            | 32        | 3,0           | 94                |           |       |

## ПРИМЕЧАНИЯ

- $T_{max} = 2 \times T_{KN}$   
» См. раздел «Выбор», с. 7–11
- Максимально допустимая скорость передачи крутящего момента  $n_{max}$  не должна быть превышена.
- Минимально допустимая обгонная скорость  $n_{imin}$  не должна быть ниже  $n_{imin}$  при непрерывной работе. При заказе оборудования можно задать скорость, меньшую, чем указанная.
- Внутреннее обгонное кольцо  
Шпоночный паз в соответствии с DIN 6885.1

Необходимо определять направление вращения при взгляде со стороны от стрелки «А»: «R» внутреннее обгонное кольцо движется по часовой стрелке. «L» внутреннее обгонное кольцо движется против часовой стрелки.

» См. инструкцию по установке и техническому обслуживанию на с. 12–13.

## ПРИМЕР МОНТАЖА

